

Starkniederschlagshöhen und -spenden gemäß KOSTRA-DWD-2020

Rasterfeld 73139

(Zeile 73, Spalte 139)

Regenspende und Bemessungsniederschlagswerte in Abhängigkeit von Wiederkehrzeit T und Dauerstufe D

| Dauerstufe D | | Wiederkehrzeit T | | | | | | | | | | | | | | | | | |
|--------------|-----|------------------|------------|------|------------|------|------------|------|------------|-------|------------|-------|------------|-------|------------|-------|------------|-------|------------|
| | | 1 a | | 2 a | | 3 a | | 5 a | | 10 a | | 20 a | | 30 a | | 50 a | | 100 a | |
| min | Std | mm | l / (s ha) | mm | l / (s ha) | mm | l / (s ha) | mm | l / (s ha) | mm | l / (s ha) | mm | l / (s ha) | mm | l / (s ha) | mm | l / (s ha) | mm | l / (s ha) |
| 5 | | 6,1 | 203,3 | 7,4 | 246,7 | 8,2 | 273,3 | 9,2 | 306,7 | 10,7 | 356,7 | 12,3 | 410,0 | 13,3 | 443,3 | 14,7 | 490,0 | 16,6 | 553,3 |
| 10 | | 7,7 | 128,3 | 9,3 | 155,0 | 10,4 | 173,3 | 11,7 | 195,0 | 13,6 | 226,7 | 15,6 | 260,0 | 16,9 | 281,7 | 18,6 | 310,0 | 21,1 | 351,7 |
| 15 | | 8,8 | 97,8 | 10,6 | 117,8 | 11,8 | 131,1 | 13,3 | 147,8 | 15,5 | 172,2 | 17,8 | 197,8 | 19,3 | 214,4 | 21,2 | 235,6 | 24,0 | 266,7 |
| 20 | | 9,6 | 80,0 | 11,6 | 96,7 | 12,9 | 107,5 | 14,6 | 121,7 | 17,0 | 141,7 | 19,5 | 162,5 | 21,1 | 175,8 | 23,2 | 193,3 | 26,3 | 219,2 |
| 30 | | 10,9 | 60,6 | 13,2 | 73,3 | 14,6 | 81,1 | 16,5 | 91,7 | 19,2 | 106,7 | 22,0 | 122,2 | 23,9 | 132,8 | 26,3 | 146,1 | 29,7 | 165,0 |
| 45 | | 12,3 | 45,6 | 14,9 | 55,2 | 16,5 | 61,1 | 18,7 | 69,3 | 21,7 | 80,4 | 24,9 | 92,2 | 27,0 | 100,0 | 29,7 | 110,0 | 33,6 | 124,4 |
| 60 | 1 | 13,4 | 37,2 | 16,2 | 45,0 | 18,0 | 50,0 | 20,3 | 56,4 | 23,7 | 65,8 | 27,1 | 75,3 | 29,4 | 81,7 | 32,3 | 89,7 | 36,6 | 101,7 |
| 90 | 1,5 | 15,1 | 28,0 | 18,3 | 33,9 | 20,3 | 37,6 | 22,9 | 42,4 | 26,7 | 49,4 | 30,6 | 56,7 | 33,1 | 61,3 | 36,5 | 67,6 | 41,2 | 76,3 |
| 120 | 2 | 16,4 | 22,8 | 19,9 | 27,6 | 22,1 | 30,7 | 24,9 | 34,6 | 29,0 | 40,3 | 33,3 | 46,3 | 36,0 | 50,0 | 39,7 | 55,1 | 44,9 | 62,4 |
| 180 | 3 | 18,5 | 17,1 | 22,4 | 20,7 | 24,9 | 23,1 | 28,1 | 26,0 | 32,7 | 30,3 | 37,5 | 34,7 | 40,6 | 37,6 | 44,7 | 41,4 | 50,5 | 46,8 |
| 240 | 4 | 20,1 | 14,0 | 24,4 | 16,9 | 27,0 | 18,8 | 30,5 | 21,2 | 35,5 | 24,7 | 40,7 | 28,3 | 44,1 | 30,6 | 48,6 | 33,8 | 54,9 | 38,1 |
| 360 | 6 | 22,6 | 10,5 | 27,4 | 12,7 | 30,4 | 14,1 | 34,3 | 15,9 | 40,0 | 18,5 | 45,8 | 21,2 | 49,7 | 23,0 | 54,7 | 25,3 | 61,8 | 28,6 |
| 540 | 9 | 25,4 | 7,8 | 30,9 | 9,5 | 34,2 | 10,6 | 38,6 | 11,9 | 45,0 | 13,9 | 51,6 | 15,9 | 55,9 | 17,3 | 61,5 | 19,0 | 69,6 | 21,5 |
| 720 | 12 | 27,6 | 6,4 | 33,5 | 7,8 | 37,2 | 8,6 | 42,0 | 9,7 | 48,9 | 11,3 | 56,1 | 13,0 | 60,7 | 14,1 | 66,8 | 15,5 | 75,6 | 17,5 |
| 1080 | 18 | 31,1 | 4,8 | 37,7 | 5,8 | 41,8 | 6,5 | 47,2 | 7,3 | 55,0 | 8,5 | 63,0 | 9,7 | 68,3 | 10,5 | 75,2 | 11,6 | 85,1 | 13,1 |
| 1440 | 24 | 33,8 | 3,9 | 41,0 | 4,7 | 45,5 | 5,3 | 51,4 | 5,9 | 59,8 | 6,9 | 68,5 | 7,9 | 74,2 | 8,6 | 81,7 | 9,5 | 92,5 | 10,7 |
| 2880 | 48 | 41,3 | 2,4 | 50,1 | 2,9 | 55,6 | 3,2 | 62,8 | 3,6 | 73,1 | 4,2 | 83,8 | 4,8 | 90,8 | 5,3 | 99,9 | 5,8 | 113,0 | 6,5 |
| 4320 | 72 | 46,5 | 1,8 | 56,4 | 2,2 | 62,5 | 2,4 | 70,6 | 2,7 | 82,2 | 3,2 | 94,2 | 3,6 | 102,1 | 3,9 | 112,4 | 4,3 | 127,1 | 4,9 |
| 5760 | 96 | 50,5 | 1,5 | 61,3 | 1,8 | 68,0 | 2,0 | 76,7 | 2,2 | 89,4 | 2,6 | 102,4 | 3,0 | 111,0 | 3,2 | 122,1 | 3,5 | 138,2 | 4,0 |
| 7200 | 120 | 53,9 | 1,2 | 65,4 | 1,5 | 72,5 | 1,7 | 81,9 | 1,9 | 95,4 | 2,2 | 109,3 | 2,5 | 118,4 | 2,7 | 130,3 | 3,0 | 147,4 | 3,4 |
| 8640 | 144 | 56,8 | 1,1 | 68,9 | 1,3 | 76,4 | 1,5 | 86,3 | 1,7 | 100,5 | 1,9 | 115,2 | 2,2 | 124,8 | 2,4 | 137,4 | 2,7 | 155,4 | 3,0 |
| 10080 | 168 | 59,4 | 1,0 | 72,1 | 1,2 | 79,9 | 1,3 | 90,2 | 1,5 | 105,1 | 1,7 | 120,4 | 2,0 | 130,5 | 2,2 | 143,6 | 2,4 | 162,5 | 2,7 |

Starkniederschlagshöhen und -spenden gemäß KOSTRA-DWD-2020

Rasterfeld 73139

(Zeile 73, Spalte 139)

Örtliche Unsicherheiten in Abhängigkeit von Wiederkehrzeit T und Dauerstufe D

| Dauerstufe D | | Wiederkehrzeit T | | | | | | | | |
|--------------|-----|------------------|-----|-----|-----|------|------|------|------|-------|
| | | 1 a | 2 a | 3 a | 5 a | 10 a | 20 a | 30 a | 50 a | 100 a |
| min | Std | ± % | ± % | ± % | ± % | ± % | ± % | ± % | ± % | ± % |
| 5 | | 18 | 20 | 20 | 21 | 22 | 23 | 23 | 24 | 25 |
| 10 | | 19 | 21 | 22 | 23 | 25 | 26 | 26 | 27 | 27 |
| 15 | | 19 | 21 | 22 | 24 | 25 | 26 | 27 | 28 | 28 |
| 20 | | 19 | 21 | 23 | 24 | 25 | 26 | 27 | 28 | 28 |
| 30 | | 18 | 21 | 22 | 23 | 25 | 26 | 26 | 27 | 28 |
| 45 | | 17 | 19 | 21 | 22 | 23 | 25 | 25 | 26 | 27 |
| 60 | 1 | 16 | 18 | 19 | 21 | 22 | 23 | 24 | 25 | 26 |
| 90 | 1,5 | 14 | 16 | 18 | 19 | 20 | 22 | 22 | 23 | 24 |
| 120 | 2 | 13 | 15 | 16 | 18 | 19 | 20 | 21 | 22 | 22 |
| 180 | 3 | 12 | 14 | 15 | 16 | 17 | 18 | 19 | 20 | 20 |
| 240 | 4 | 11 | 13 | 14 | 15 | 16 | 17 | 18 | 18 | 19 |
| 360 | 6 | 12 | 12 | 13 | 14 | 15 | 16 | 16 | 17 | 18 |
| 540 | 9 | 13 | 13 | 13 | 14 | 14 | 15 | 15 | 16 | 17 |
| 720 | 12 | 14 | 14 | 14 | 14 | 15 | 15 | 15 | 16 | 16 |
| 1080 | 18 | 16 | 15 | 15 | 15 | 15 | 16 | 16 | 16 | 16 |
| 1440 | 24 | 18 | 17 | 17 | 16 | 16 | 16 | 17 | 17 | 17 |
| 2880 | 48 | 23 | 22 | 21 | 21 | 20 | 20 | 20 | 20 | 20 |
| 4320 | 72 | 27 | 25 | 24 | 23 | 23 | 22 | 22 | 22 | 22 |
| 5760 | 96 | 29 | 27 | 26 | 26 | 25 | 24 | 24 | 24 | 24 |
| 7200 | 120 | 31 | 29 | 28 | 27 | 27 | 26 | 26 | 26 | 25 |
| 8640 | 144 | 33 | 31 | 30 | 29 | 28 | 27 | 27 | 27 | 27 |
| 10080 | 168 | 34 | 32 | 31 | 30 | 29 | 29 | 28 | 28 | 28 |

Parameter für abweichende T und D

Lokationsparameter ξ (Xi)

13,47031832

Skalenparameter α (Alpha)

4,00020676

Formparameter κ (Kappa)

-0,1

1. Koutsoyiannis-Parameter θ (Theta)

0,00951424

2. Koutsoyiannis-Parameter η (Eta)

0,71033865

Parameter für dauerstufenübergreifende Extremwertschätzung nach KOUTSOYIANNIS et al. 1998.

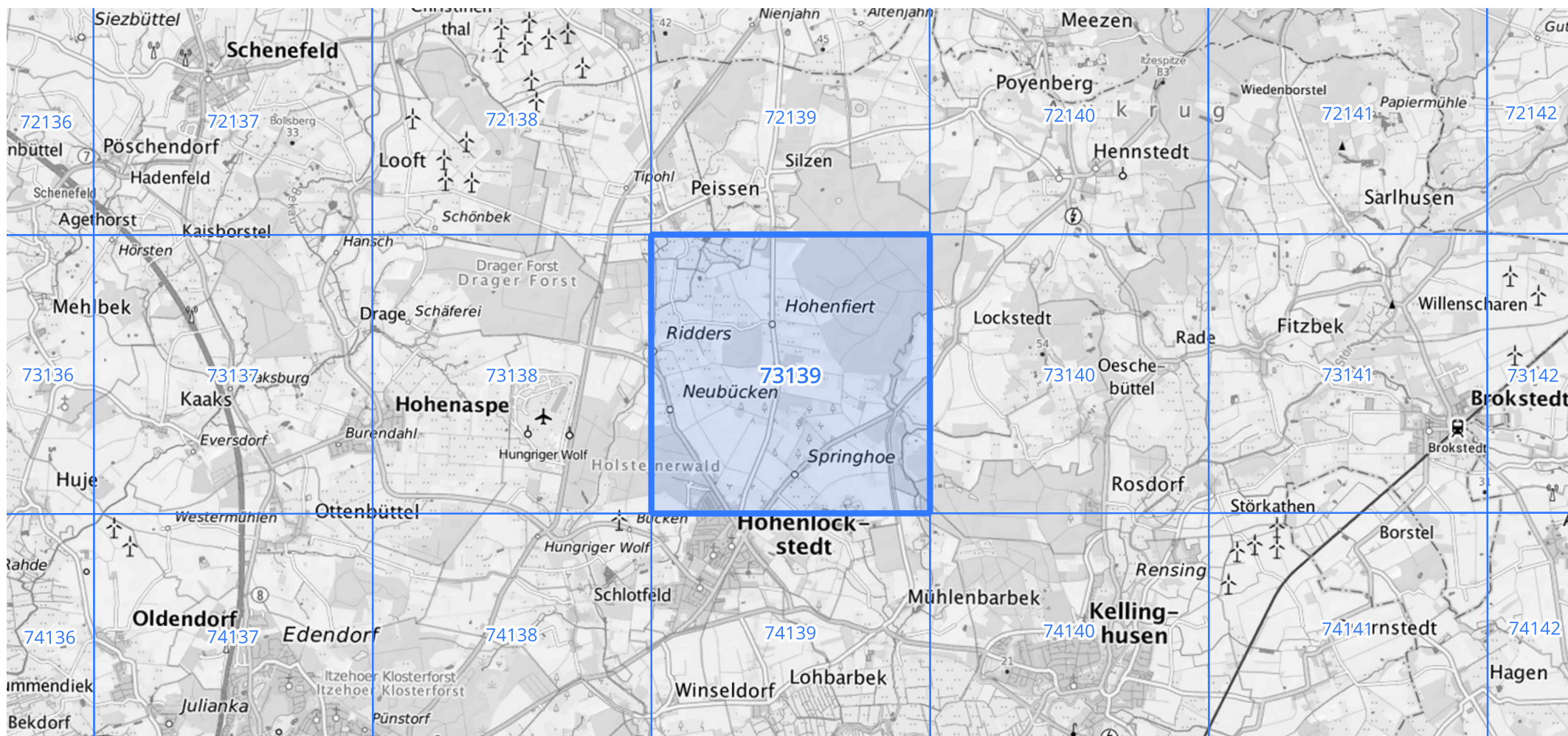
Siehe auch Anwendungshilfe zu KOSTRA-DWD-2020 des Deutschen Wetterdienstes.

Starkniederschlagshöhen und -spenden gemäß KOSTRA-DWD-2020

Rasterfeld 73139

(Zeile 73, Spalte 139)

Übersichtskarte des Rasterfeldes 73139, M 1 : 100 000



Quelle Rasterdaten: KOSTRA-DWD-2020 des Deutschen Wetterdienstes, Stand 12/2022.

Seite 3 von 3

Kartendarstellung: © Bundesamt für Kartographie und Geodäsie (2023), Datenquellen: https://sgx.geodatenzentrum.de/web_public/gdz/datenquellen/Datenquellen_TopPlusOpen.html

Für die Richtigkeit und Aktualität der Angaben wird keine Gewähr übernommen. Erstellt 01/2023.